

Петровичев М.А., Пупков Е.А.

РАЗРАБОТКА МАТЕМАТИЧЕСКОЙ МОДЕЛИ ТРОСОВОЙ СИСТЕМЫ ВИБРОЗАЩИТЫ

При проведении специальных технологических процессов и научных экспериментов на борту космического аппарата (КА) необходимо поддерживать низкий уровень вибраций. Для снижения возмущений, передаваемых на элементы конструкции КА, используются различные системы виброизоляции, которые можно разделить на активные и пассивные. Наилучших результатов можно добиться, применяя первый тип систем, однако при всех своих преимуществах, они обладают рядом недостатков: большая масса и габаритные размеры, сложность и высокая стоимость, наличие внешних источников энергии. Использование же пассивных систем виброзащиты при простоте их конструкции не приводит к обеспечению требуемого уровня вибраций на борту КА.

В настоящее время ведутся работы по созданию так называемых квазиуравновешенных систем виброзащиты, которые будучи составлены из линейных виброизоляционных элементов, обладают преимуществами как пассивных, так и активных систем гашения возмущений. К одной из таких систем относится исследуемая нами тросовая система виброзащиты, в которой в качестве виброизолирующего элемента используется предварительно уложенный по окружности трос.

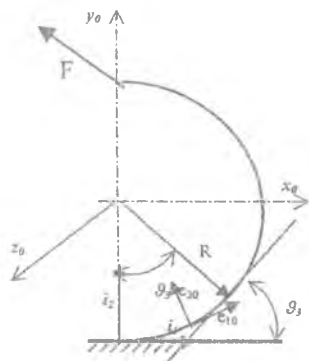


Рис 1

На рис. 1 представлена схема исследуемого виброизолирующего элемента. Предполагается, что на свободный конец троса действует сосредоточенная внешняя сила F , которая в общем случае может действовать в любом направлении. Однако при определении силовой характеристики системы целесообразно разбить ее на три составляющие, а затем рассмотреть отдельно каждый из трех случаев.

При описании напряженно-деформированного состояния использовались уравнения равновесия стержня,

связывающие внутренние усилия и моменты с положением стержня в деформированном состоянии [1], которые в безразмерной форме имеют следующий вид:

$$\left\{ \begin{array}{l} \frac{dQ}{d\varepsilon} = 0; \\ \frac{dM}{d\varepsilon} + e_1 \times Q = 0, \\ M = A(\chi - \chi_0^{(1)}); \\ L_1 \frac{d\vartheta}{d\varepsilon} + L_2 \chi_0^{(1)} - A^{-1}M = 0; \\ \frac{du}{d\varepsilon} - (L^0)^T (L^T - E)u = 0; \end{array} \right. \quad (1)$$

где Q — вектор внутренних усилий, равный $Q = Q_1 e_1 + Q_2 e_2 + Q_3 e_3$, Q_1 — осевая сила, Q_2 и Q_3 — перерезывающие силы;

$M = M_1 e_1 + M_2 e_2 + M_3 e_3$ — вектор внутренних моментов, M_1 — крутящий момент, M_2 и M_3 — изгибающие моменты;

χ и χ_0 — векторы кривизны в нагруженном и естественном состоянии;

L^0, L — матрицы перехода от базиса декартовой системы координат $\{i_j\}$ к базису в естественной системе координат в ненагруженном состоянии $\{e_{j0}\}$ и от $\{e_{j0}\}$ к базису $\{e_j\}$ в деформированном состоянии соответственно;

L_1, L_2 — вспомогательные матрицы, зависящие от углов поворота;

A — жесткостная диагональная матрица.

Для отыскания решения полученной системы дифференциальных уравнений необходимо задать краевые условия. В начале координат имеется жесткая заделка. Таким образом, для перемещений и углов поворота имеем:

$$\varepsilon=0: u_1=u_2=u_3=0, \vartheta_1=\vartheta_2=\vartheta_3=0.$$

На свободном конце предполагается отсутствие поворотов, откуда получаем:

$$\varepsilon=1: \vartheta_1=\vartheta_2=\vartheta_3=0.$$

Остальные три условия зависят от внешней силы F и могут быть записаны следующим образом:

1) Сила F действует по направлению оси x_0 :

$$\varepsilon=1: Q_1=F, u_2=u_3=0;$$

2) Сила F действует по направлению оси y_0 :

$$\varepsilon=1: Q_2=F, u_1=u_3=0;$$

3) Сила F действует по направлению оси z_0 .

$$\varepsilon=1; Q_3=F, u_1=u_2=0.$$

На рис. 2,3,4 представлены зависимости между перемещениями и внешними силами в безразмерных величинах, а на рис. 5 - изменение формы троса под действием внешней силы, направленной вдоль оси x_0 .

При переходе к размерным величинам учитываются жесткостные и геометрические характеристики тросов.

Полученные в результате экспериментального исследования зависимости перемещения свободного конца троса от внешней силы в направлении оси x_0 свидетельствуют о правомерности использования принятых допущений.



Рис.2

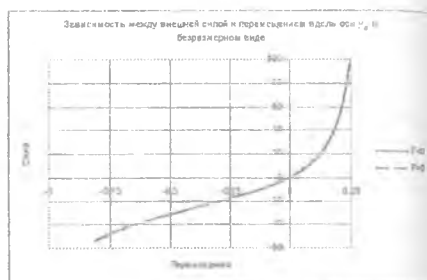


Рис.3



Рис.4

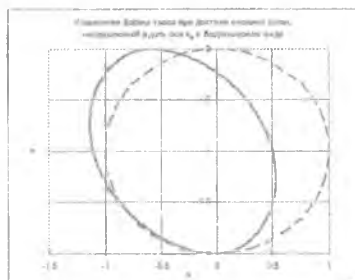


Рис.5

БИБЛИОГРАФИЧЕСКИЙ СПИСОК

1. Светлицкий В.А., Механика стержней. В 2-х ч. - М: Высш. шк., 1987.